

誤りパターン埋込み型ステガノグラフィに 関する一考察

A study on steganography based on embedding error patterns

研究者：索手 一平
Researcher : Ippei NAWATE

指導教員：福岡 久雄
Supervisor : Hisao FUKUOKA

松江工業高等専門学校情報工学科
Department of Information Engineering, Matsue College of Technology

概要

本論文は、テキスト情報をグレースケール画像に埋め込むステガノグラフィ技術を対象とする。データの埋め込み手法の一つである誤りパターン埋め込み法は、テキスト情報を冗長かつハミング重みの小さい誤りパターンというビット列に変換し、画像中の LSB 平面との排他的論理和で LSB 平面を置き換える。本研究では、誤りパターン埋め込み法における画質劣化等について考察する。また、Shalkwijk の数え上げ符号を用いた誤りパターンの動的生成方法を提案する。

Abstract

The subject of this paper studies is steganography techniques to embed text information into gray scale images. The steganography method of error pattern is one of the methods of embedding data. In embedding process of this method, first of all, the binary data of each character in text information are converted into error pattern which more shorter and less hamming weight binary digit string. Finally, replacing LSB plane of the embedding target image with the exclusive OR of error pattern and that LSB plane of the image. In this study, we consider the image quality etc of the image embedded text information. Then this paper also proposes a method of dynamically generating the error pattern using the enumerative code.

Keywords

ステガノグラフィ, セキュリティ, 誤りパターン, 数え上げ符号

目次

1	はじめに	1
2	ステガノグラフィとは	1
3	LSB 法	2
4	誤りパターン埋め込み法	2
5	誤りパターンの生成方法	3
5.1	Slalkwijk の数え上げ符号	4
5.2	誤りパターンの動的生成	4
6	埋め込みによるカバーデータの劣化評価	5
6.1	実験手順	5
6.2	実験結果	5
6.2.1	埋め込み率に対する誤り率	5
6.2.2	埋め込み率に対する画質劣化	5
6.2.3	2 ビット列目以降へ埋め込んだ場合の画質劣化	6
6.2.4	埋め込む文字数を一定にした場合の画質劣化	7
7	実験環境	8
8	画像の入手元	8
9	おわりに	8

1 はじめに

近年、ネットワーク通信の増加に伴い、安全に通信を行うための技術の重要性が高まってきている。安全に通信を行う手段として送信内容の暗号化が挙げられる。暗号化を施すことで、第三者による盗聴、なりすましといった妨害行為を防ぐことができるが、通信行為そのものは第三者に認知されてしまうことから、通信経路の遮断などといった妨害行為をうける可能性を排除できない。

この点に対し、ステガノグラフィでは送信内容を別のデータに埋込むことで、第三者から秘密データの存在そのものを隠蔽する。これによって、通信行為そのものを隠蔽し、より安全な通信を実現することができる。

しかし、データの埋め込みによって、埋め込みに使用されたデータ（これを「カバードータ」という）には誤りビットが発生することから、それに伴うカバードータの劣化が情報の隠蔽性に問題を引き起こしてしまう。この誤りビットが発生する割合を「誤り率」という。このことから、カバードータの劣化が大きくなる範囲でデータを埋め込む必要があり、それと同時に埋め込み可能なデータ容量が制限されてしまう。

そのため、ステガノグラフィでは誤りを抑えつつ、より多くの情報を効率よく埋め込むことが重要である。この埋め込みの効率を「埋め込み率」という。今まで複数の埋め込み手法が提案されてきており、その中でも代表的なものが LSB 法である。文献 [1] では LSB 法とそれを改良した誤りパターン埋め込み法についての性能比較を行っている。

しかし、文献 [1] で行われた性能比較は埋め込み率に対する理論的な誤り率の比較にとどまっており、実際の埋め込みによる誤り率については述べられていない。また、実用する上で重要となる、埋め込みに伴うカバードータの劣化についても述べられていない。

そこで、本論文ではテキスト情報をグレイスケール画像に埋め込むステガノグラフィ技術を対象として、誤りパターン埋め込み法における埋め込み率と誤り率、画質劣化とのトレードオフ関係を実験的に明らかにする。なお、画質劣化の指標には SSIM[2] を用いる。また、誤りパターンテーブルの肥大化問題 [1] に対する解決策として Shalkwijk の数え上げ符号 [3] を用いた誤りパターンの動的生成手法を提案する。

2 ステガノグラフィとは

ステガノグラフィとは秘密データを別の媒体に埋め込む技術、研究の総称であり、情報ハイディング技術の一つでもある。

ステガノグラフィ以外の情報ハイディング技術として電子透かしがある。これはデータの著作権や所有権を保護するために、そのデータの中に、ある証拠データを埋め込む技術のことである。電子透かしでは埋め込まれる証拠データの頑健さ、つまり他者に除去されないことが重要である。一般的に埋め込まれる情報は少量であり、外部から確認できることが重要であり、埋め込まれる証拠データそのものには大きな価値はない。

一方でステガノグラフィは秘密データを隠蔽するためにカバードータ内に埋め込みを行なう。ステガノグラフィでは電子透かしとは逆に埋め込まれる秘密データそのものに大きな価値があり、埋め込まれた秘密データの存在そのものを他者に認知されないことが重要となる。一般的に埋め込まれる情報は少量とは限らず、多量のデータの埋め込みはカバードータを劣化させてしまい、第三者に埋め込みを検知される危険性が高まることから、ステガノグラフィでは以下の 2 点を同時に満たすことが強く望まれる。

1. できるだけ多くの情報の埋め込みが可能である
2. 埋め込みが主観的・客観的に認知されない

また、秘密データを埋め込まれたカバードータをステゴデータと呼ぶ。

カバードータには主に音楽、画像などのメディアデータが用いられる。ほとんどのメディアデータはいくらかの冗長性を有しており、これを利用した埋め込みが主である。本論文で埋め込み対象とする画像では、画像中の各画素における LSB などの下位ビットが冗長性となる。これらのビットはそれぞれが持つ情報量が少なく、変化させたとしても視覚的变化がほとんど発生しない。特に LSB は情報量が最も少ないことから、埋め込み利用されることが多い。実際、この特徴を利用した埋め込み手法として LSB 法が提案されており、ステガノグラフィにおける最も一般的な埋め込み手法として知られている。これについて次章で述べる。

3 LSB 法

LSB 法とは画像の各ピクセルにおける LSB のみを埋め込み対象とすることで、埋め込みによる画像の劣化を抑えた手法である。この手法は、図 1 に示すように、カバーデータ中の LSB に対しテキスト情報のバイナリ表現をそのまま置き換えることで埋め込みを行なう。

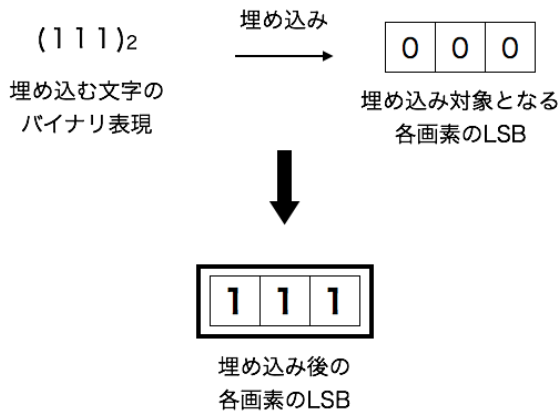


図1 LSB 法でのデータの埋め込み

また、埋め込み時に LSB をテキスト情報のバイナリ表現でそのまま置き換えることから、図 2 のようにステゴデータの LSB のからテキスト情報を直接抽出することができる。



図2 LSB 法でのデータの抽出

この手法は、単純なアルゴリズムであり実装が容易である反面、埋め込み後に誤りビットが発生しやすく、ステゴデータの誤り率が高くなる。このことから、誤りに伴うステゴデータの劣化によって、情報の隠蔽性に下げてしまう。

このような問題から、これまで LSB 法をもとに多数の手法が提案されてきた。それらの中でも本論文で

扱う誤りパターン埋め込み法は、優れた誤り率を有する手法として知られている。これについては次章で述べる。

本論文ではカバーデータのうち、埋め込みに対象となるビット列をカバービット列、ステゴデータ中のデータが埋め込まれたビット列をステゴビット列と呼ぶ。また、カバービット列とテキスト情報のバイナリ表現のビット長をそれぞれ n , m 、ステゴビット列中の誤りビットの数を d として、埋め込み率は $\frac{m}{n}$ 、誤り率は $\frac{d}{n}$ として計算される。

基本的に埋め込み率が高いほど多くの情報を埋め込むことができる。また、誤り率が高いほどステゴデータの画質が劣化する傾向にある。LSB 法では埋め込み率は常に 100 % であるが、一方で誤りビットが発生しやすいことから誤り率が高い。

4 誤りパターン埋め込み法

LSB 法をもとに、より低い誤り率での埋め込みを行なう手法として誤りパターン埋め込み法が知られている。

文献 [1] では LSB 法とこの手法の誤り率についての性能比較を行っている。LSB 法では埋め込むごとに $\frac{1}{2}$ の確率で誤りビットが発生することから、誤り率を Δ 、埋め込み率を R としてこれらの関係は

$$\Delta = \frac{R}{2}$$

で表される。

一方、誤りパターン埋め込み法の埋め込み率は式 (1) のエントロピー関数 $H(\Delta)$ で表される。

$$\begin{aligned} H(\Delta) &\triangleq H(\Delta, 1 - \Delta) \\ &= -\Delta \log 2\Delta - (1 - \Delta) \log 2(1 - \Delta) \end{aligned} \quad (1)$$

図 3 に LSB 法と誤りパターン埋め込み法の埋め込み率と誤り率の関係を表したグラフを示す。図 3 より、明らかに LSB 法に比べ誤りパターン埋め込み法は誤り率について優れていることがわかる。

この手法では図 4 のように、次章にて述べる変換方式を用いてテキスト情報のバイナリ表現を、より長くハミング重みの小さいビット列である誤りパターンに変換する。そして、カバービット列をそのまま置き換えるのではなく、カバービット列と誤りパターンとの排他的論理和でカバービット列を置き換える。

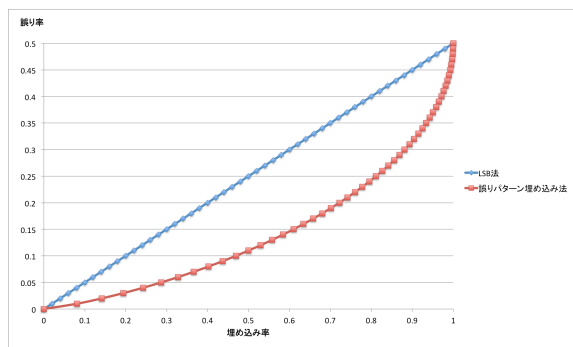


図3 LSB法と誤りパターン埋め込み法の性能比較

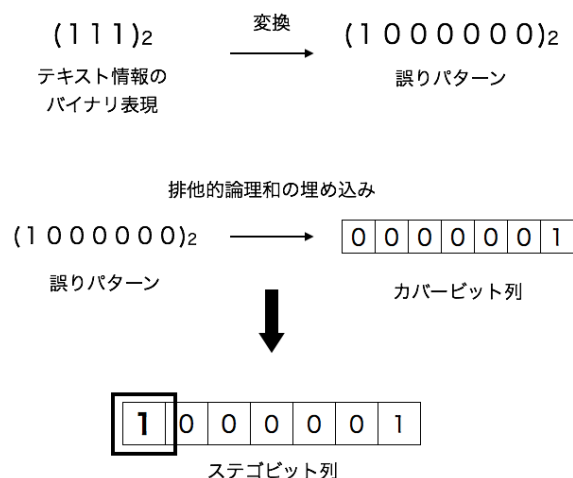


図4 誤りパターン埋め込み法でのデータの埋め込み

また、図5のように、カバービット列とステゴビット列との排他的論理和をとることで埋め込まれた誤りパターンを抽出することができ、その誤りパターンをテキスト情報へと逆変換することでテキスト情報の抽出を行うことができる。

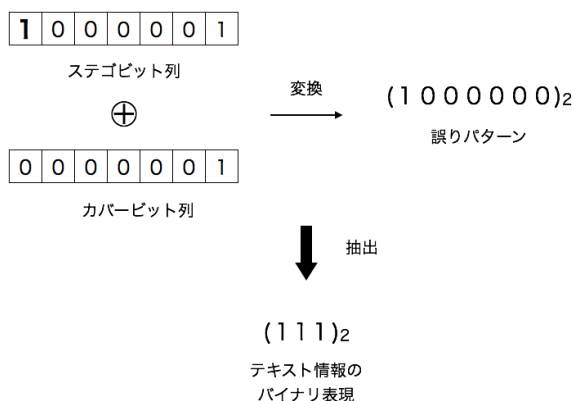


図5 誤りパターン埋め込み法でのデータの抽出

埋め込みに排他的論理和を用いることから、誤りパターンにおける「1」の対応するビットのみがカバービット列中で置き換わるため、誤りビットの発生を大幅に抑えることができる。一方でより長いビット列を使用することから埋め込み率は減少する。

この手法において、ステゴビット列中で発生する誤りビットの数は誤りパターンのハミング重みと同じであり、生成される誤りパターンが埋め込まれるテキスト情報によることから、誤り率はテキスト情報の内容に依存する。そのため同じテキスト情報を埋め込みデータとした場合、カバーデータによらず誤り率は等しくなる。また、テキスト情報の抽出時にカバービット列とステゴビット列の排他的論理和を用いることから、この手法は埋め込みデータの抽出にカバーデータが必要となる。

5 誤りパターンの生成方法

一般的な誤りパターンの生成方法として文字のバイナリ表現と誤りパターンとの対応を示した誤りパターンテーブルを利用した方法がある。誤りパターンテーブルの例を表1に示す。この方法ではテキスト情報の埋め込み時、抽出時にテーブルを参照することで誤りパターンの相互変換を行う。単純な方式であり実装が容易である一方で、テキスト情報の各文字のバイナリ表現を m ビットとしたとき、最大で 2^m 個の誤りパターンを対応付ける必要があることから、テーブルが膨大となりやすく、強いメモリ制約下での実装が困難になるという問題がある。

表1 誤りパターンテーブル

埋め込みデータ	誤りパターン
000	0000000
001	0000001
010	0000010
011	0000100
100	0001000
101	0010000
110	0100000
111	1000000

文献 [1] ではこの問題の解決策として、コスト付き符号化を用いた誤りパターンテーブルの効率的実装方

					1									
					1		1							
				1		2		1						
			1		3		3		1					
		1		4		6		4		1				
	1		5		10		10		5		1			
1		6		15		20		15		6		1		
1		7		21		35		35		21		7		1

図6 パスカルの三角形

法が提案されている。

本論文では誤りパターンテーブルを用いない解決策として、Shalkwijk の数え上げ符号 [3] を用いた誤りパターンの動的生成手法を提案する。

5.1 Shalkwijk の数え上げ符号

Shalkwijk の数え上げ符号とは長さ n 、ハミング重み k の 2 進数列 x の集合に対し 10 進数 $i(x)$ を一意に割り当てることができる符号化手法である。なお $i(x)$ は

$$0 \leq i(x) \leq {}_nC_k$$

を満足する。

またパスカルの三角形を用いて x 、 $i(x)$ 間の相互変換が可能である。この方法ではパスカルの三角形における $n+1$ 段目、左から $k+1$ 番目の値を起点として変換を行う。一例として $x = 010100$ としたときの符号化について考える。この x は $n=6$ 、 $k=2$ であるからまず頂点の 1 から数えて 7 段目、左から 3 番目の値である 15 に注目する。ここで x の MSB から 1 ビットずつ値を取り出していき、0 であれば右斜め上に、1 ならば左斜め上の値に注目点を移動する。また取り出した値が 1 であったとき注目点を移動する前の値から見て右斜め上の値を記憶し加算していく。今回の場合、MSB が 0 であるから右斜め上の 10 に移動する。そして次のビットは 1 であるから右斜め上の 6 を記憶し、左斜め上の 4 に移動する。これを繰り返し、頂点に達した時点で終了となる。今回の場合、最終的に加算していった値として 8 が得られ、これが x に割り当てられる $i(x)$ となる。

次に $i(x)$ から x への復号化について考える。復号化では注目点から見て右斜め上の値と $i(x)$ とを比較し、MSB から順に各ビットの値が決定される。比較対象となる値を n として $i(x) < n$ であれば決定される

ビットは 0 となり、注目点を右斜め上の値移動する。 $i(x) \geq n$ であれば決定されるビットは 1 となり、左斜め上の値に移動し、 $i(x) = i(x) - n$ として $i(x)$ の値を減らしていく。今回の場合、起点である 15 から見て右斜め上の値は 10 であり、これよりも 8 は小さいことから MSB は 0 であることが決まり、そのまま右斜め上の 10 に移動する。次に、10 の位置から見ると右斜め上の値は 6 であり 8 のほうが大きいことから左斜め上の 4 に移動し、次のビットは 1 とする。このとき、値 8 から 6 を引いた値である 2 を記憶する。これを繰り返していくことによって最終的に 010100 が得られる。これが $n=6, k=2$ とした場合に 8 に対応する x ということになる。最終的に $n=6, k=2$ の 2 進数列 x の集合は 10 進数 $i(x)$ が表 2 のように割り当てられる。

表2 $n=6, k=2$ の場合の対応付け

x	$i(x)$	x	$i(x)$
000011	0	010100	8
000101	1	011000	9
000110	2	100001	10
001001	3	100010	11
001010	4	100100	12
001100	5	101000	13
010001	6	110000	14
010010	7		

5.2 誤りパターンの動的生成

提案する誤りパターンの動的生成手法ではテキスト情報の各文字のバイナリ表現を 2 進数列 x として与えることで、10 進数 $i(x)$ へと変換する。この変換は 5.1 で述べたパスカルの三角形を用いて行なう。このとき、 x が一意である一方で、異なる x に対し同じ $i(x)$ が割り振られる場合がある。例えば、表 2 で $x = 000011$ に割り当てられる $i(x)$ は 0 であるが、 $x = 000000$ に対しても同様に 0 が割り当てられる。そこで、本手法では x の長さ n 、ハミング重み k を用いた式 (2) で求められる offset_k を $i(x)$ に加算することで一意の誤りパターンとする。

$$\begin{aligned} \text{offset}_k &= \sum_{i=0}^{k-1} {}_nC_i \\ \text{offset}_0 &= 0 \end{aligned} \quad (2)$$

この方法を用いることで誤りパターンを動的に生成し、強いメモリ制約下での誤りパターン変換を可能とする。

6 埋め込みによるカバーデータの劣化評価

6.1 実験手順

実験手順の概要を図 7 に示す。以下に示す手順で実験を行った。実験には 256×256px の 8 ビットグレイスケール Bitmap である SIDBA 画像 30 枚を使用し、埋め込みに使用するテキスト情報は等確率で発生する 8 ビットコードの列とした。テキスト情報の生成には 623 次元に分布する乱数発生器である SFMT を用いた。

- (1) テキスト情報の各コードを 5.2 章にて述べた手法で動的に誤りパターンへと変換し、変換した誤りパターンと画像の LSB との排他的論理和を画像へと埋め込む。
- (2) 埋め込み前後の画像を比較し、誤り率、SSIM を算出する。
- (3) 誤りパターン長を 8 ビットから 255 ビットまで変化させ (1)、(2) を繰り返す。
- (4) 画像を入れ替えて (3) を繰り返す。

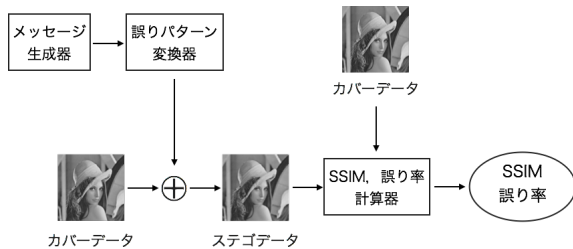


図 7 実験概要

6.2 実験結果

6.2.1 埋め込み率に対する誤り率

誤り率の計測結果と文献 [1] において示されている誤りパターン埋め込み法における誤り率の理論的下限曲線を図 8 に示す。なお、誤りパターン埋め込み法における誤り率はカバーデータによらず等しいことから、すべてのカバーデータに対し同じ曲線を描く。

図 8 より、実際に計測した誤り率は理論的下限曲線

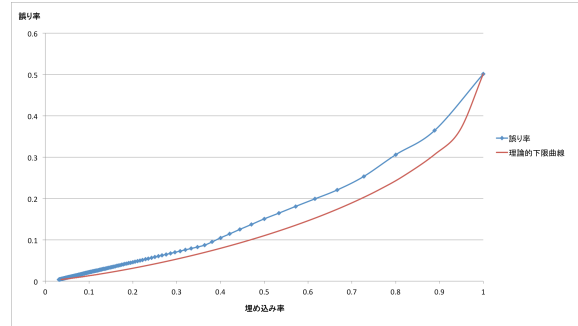


図 8 埋め込み率に対する誤り率の変化

と同様、埋め込み率が増加するとともに誤り率も増加し、理論的下限曲線に比べ曲率の低い曲線を描いた。

6.2.2 埋め込み率に対する画質劣化

30 枚の SIDBA 画像のうち、SSIM の最も高い画像 10 枚と最も低い 10 枚の埋め込み率に対する SSIM の変化を図 9 に示す。

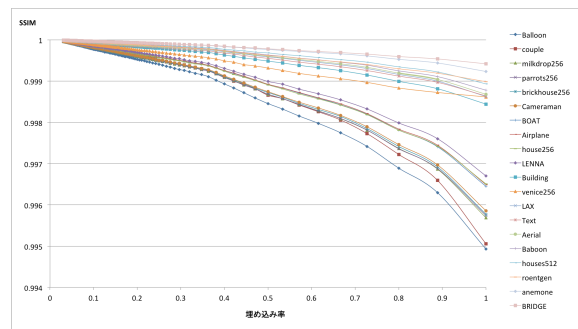


図 9 埋め込み率に対する SSIM の変化（画像ごと）

図 9 よりすべての埋め込み率について SSIM が 0.99 を上回っていることがわかる。一般的に SSIM は 0.98 以上で埋め込み前後の画像の区別がつかないと言われていることから、埋め込みを LSB 平面に限定した場合、埋め込み率、誤り率によって画質が大きく劣化することはないということがわかる。同時に図 9 より、画像ごとに SSIM の変化の様子が異なることがわかる。これについて、実験に使用した画像を主観的に観察したところ、図 10 のように画像全体の複雑度が高い画像ほど SSIM の変化が小さく、一方で図 11 のように複雑度の低い大きな領域を含む画像ほど SSIM の変化が大きくなるという傾向が見られた。ここで複雑度と

は、画像全体における画素間の明暗の変化の多さを表しており、複雑度が高いほどにノイズ画像に近くなる。これは、埋め込まれるデータ内の 0,1 の発生はランダムであり、埋め込みによる画像の劣化がノイズ状に発生することから、図 10 のように複雑度が高い画像であれば、画像中にノイズが溶け込み、目立たなくなってしまうためであると考えられる。



図 10 BRIDGE.bmp



図 11 Balloon.bmp

6.2.3 2ビット列目以降へ埋め込んだ場合の画質劣化

章 6.2.2 より LSB のみへの埋め込みではステゴデータの劣化はほとんど起こらず、視覚的な隠蔽性には影

響を与えないということがわかった。このことから隠蔽性に影響を与えない範囲で 2 ビット列目以降への埋め込みも可能なのではないかと仮定し、2~4 ビット列目までの埋め込みを行った。実験手順はこれまでと同様の手順で行い、実験対象となるビット列より下位のビット列については埋め込み率 100 %での埋め込みを行った。実験結果をそれぞれ図 12~14 に示す。

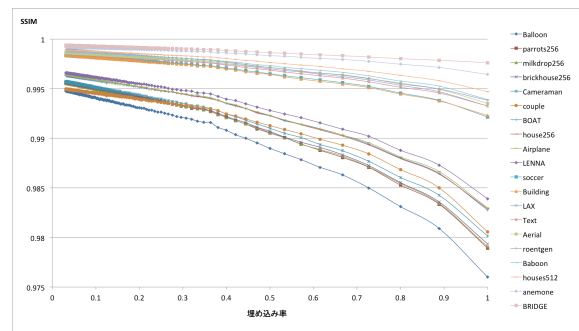


図 12 2ビット列目まで埋め込んだ場合

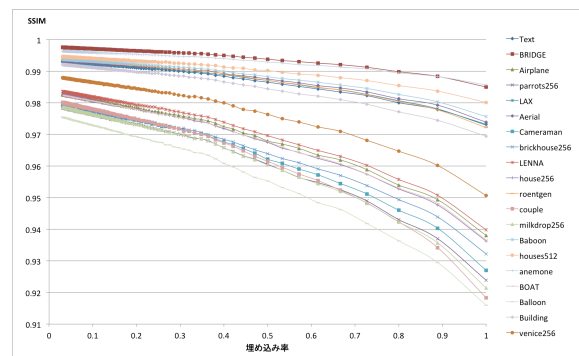


図 13 3ビット列目まで埋め込んだ場合

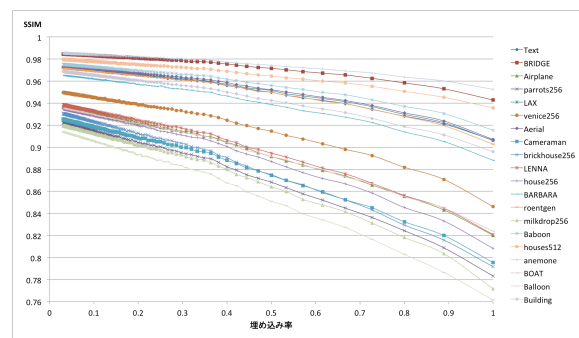


図 14 4ビット列目まで埋め込んだ場合

図 12 より埋め込み率 0.9 前後で SSIM が 0.98 を下回り始めていることがわかる。このことから、LSB へ

の埋め込みを 100 % として 2 ビットプレーンまで埋め込みを行うことで、ほとんどの画像に対し、視覚的な隠蔽性に影響を与えない範囲で、約 1.9 倍のテキスト情報の埋め込みが可能であるといえる。

図 13 より 3 ビット列目まで埋め込み率 100 % での埋め込みを行ったとしても SSIM が 0.98 を上回る画像があることがわかる。また、図 14 においても埋め込み率 0.2 前後まで SSIM が 0.98 を上回っていることがわかる。

ここで、図 10, 11 のステゴデータをそれぞれ図 15, 16 に示す。ステゴデータは LSB から 3 ビット列目まで埋め込み率 100 % で埋め込みを行ったものである。図 16 はもとの画像に比べ視覚的に大きく劣化が生じており、一方図 15 は劣化が小さく元の画像からほとんど変化していない。これらのことから適切な画像を選択することでより LSB のみへの埋め込みに比べ 3 倍以上のテキスト情報の埋め込みが可能になるといえる。



図 15 BRIDGE.bmp のステゴデータ

6.2.4 埋め込む文字数を一定にした場合の画質劣化

埋め込まれるテキスト情報の文字数を固定して誤りパターン長を長くした場合、埋め込みに必要となるステゴビット列は長くなるが、ステゴデータの誤り率を下げることはできる。

例えば、LSB のみへ埋め込み率 100 %、すなわち誤りパターン長を 8 ビットとして埋め込みを行った



図 16 Balloon.bmp のステゴデータ

場合、256×256px の画像であれば 8192 文字のテキスト情報の埋め込みが可能である。これに対し、誤りパターン長を 16 ビットとして 8192 文字のテキスト情報を埋め込んだ場合、LSB に加え 2 ビット列目を使用する必要があるが、誤りパターン長が倍となることから誤り率を半減させることができる。

しかし、一般に誤り率を下げることで画質劣化を抑えることができるが、2 ビット列目は LSB に比べ、各ビットが倍の情報量を持つことから誤りビットによるステゴデータの視覚的変化が大きくなる。

これについて、埋め込む文字数を固定し、LSB のみへ埋め込みを行った場合、LSB に加え 2 ビット列目まで埋め込みを行った場合について、後者の場合により画質劣化を抑えることができると仮定し、これまでと同様の実験手順でステゴデータの画質劣化の比較を行った。

実験で使用した 30 枚の SIDBA 画像のうち BRIDGE.bmp (図 10) を使用した場合の実験結果を図 17 に示す。図 17 より、埋め込む文字数にかかわらず、LSB に加え 2 ビット列にまで埋め込みを行った場合の SSIM が LSB のみに埋め込みを行った場合の SSIM を下回っていることがわかる。この結果から、誤りパターン長を長くしたとしても、より重みのあるビット使用した場合、画質劣化を抑えることはできないということがわかる。

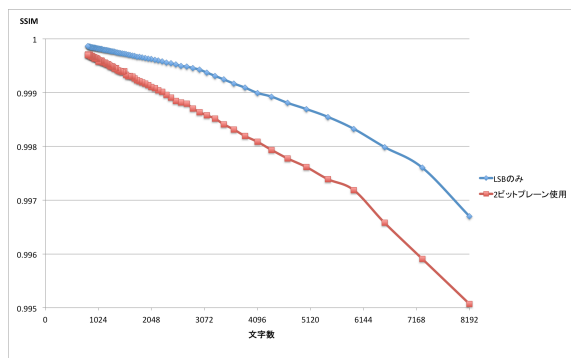


図 17 埋め込み率に対する誤り率の変化

7 実験環境

- OS : Mac OS X 8, 9
- RAM : 8GB 1600 MHz DDR3
- IDE : IntelliJ IDEA 13.0

8 画像の入手元

1. 神奈川大学
http://www.ess.ic.kanagawa-it.ac.jp/app_images_j.html
2. 京都大学
http://vision.kuee.kyoto-u.ac.jp/IUE/IMAGE_DATABASE/STD_IMAGES/index.html
3. Ashi-LAB
<http://assy.sakura.ne.jp/idba.html>
4. Rensselaer Polytechnic Institute
<http://www.cipr.rpi.edu/resource/stills/index.html>

9 おわりに

本研究では誤りパターン埋め込み法における埋め込み率と誤り率、画質劣化とのトレードオフ関係を実験的に明らかにした。これによって、埋め込みを LSB 平面に限定した場合、埋め込み率、誤り率によって画質が大きく劣化することはなく、ステゴデータの視覚的な隠蔽性に大きく影響を与えることはないということがわかった。さらにこの結果を受け、LSB への埋め込みを埋め込み率 100 %として2ビット列目以降への埋め込みを行なったところ、2ビット列目を使用することでほとんどの画像に対し1.9倍近くのテキスト情報の埋め込みが可能であること、3ビット列目以降を

使用した場合にも画像を適切に選択することで3倍以上ものテキスト情報の埋め込みが可能であることを示した。

また、Shalkwijk の数え上げ符号を用いた誤りパターンへの動的生成手法を提案することで、強いメモリ制約下における誤りパターンテーブルの実装問題に対する解決策を示した。しかし、本論文の実験で使用した環境は決してメモリ制約の強い環境ではないため、今後実際に強いメモリ制約下での動作比較実験を行う必要があると思われる。

参考文献

- [1] 合田翔, 渡辺峻, 松本和幸, 吉田稔, 北研二. コスト付き符号化を用いたステガノグラフィ. 信学技報 IT, Vol. 113, No. 153, pp. 5–9, 7 2013.
- [2] Z.Wang, A.C.Bovik, H.R.Sheikh, and E.P.Simoncelli. Image quality assessment: From error visibility to structural similarity. *IEEE TRANSACTIONS ON IMAGE PROCESSING*, Vol. 13, No. 4, pp. 600–612, April 2004.
- [3] J.P.M.Shalkwijk. An algorithm for source coding. *IEEE TRANSACTIONS ON INFORMATION THEORY*, Vol. IT-18, No. 3, pp. 395–399, May 1972.